

1. Однопетльова перенорміровка в КЕД (перенорміровка маси, заряду і хвильових функцій), контр-членний підхід

Для Фур'є перетворення функції Гріна $G(x-y) = \langle 0|T\psi(x)\bar{\psi}(y)|0\rangle$ нескінченний ряд фейманівських діаграм може бути записаний через власну енергію $\Sigma(p)$ (див. рис.1):

$$\begin{aligned}
 G(p) &= \frac{i}{\hat{p}-m} + \frac{i}{\hat{p}-m}(-i\Sigma(p))\frac{i}{\hat{p}-m} + \dots \\
 &= \frac{i}{\hat{p}-m} \left(1 + \Sigma(p)\frac{1}{\hat{p}-m} + \Sigma(p)\frac{1}{\hat{p}-m}\Sigma(p)\frac{1}{\hat{p}-m} + \dots \right) \\
 &= \frac{i}{\hat{p}-m} \frac{1}{1 - \Sigma(p)\frac{1}{\hat{p}-m}} = i(\hat{p}-m)^{-1} [1 - \Sigma(p)(\hat{p}-m)^{-1}]^{-1} \\
 &= i [(1 - \Sigma(p)(\hat{p}-m)^{-1}) (\hat{p}-m)]^{-1} = i(\hat{p}-m - \Sigma(p))^{-1} \\
 &= \frac{i}{\hat{p}-m - \Sigma(p)}.
 \end{aligned} \tag{1.1}$$

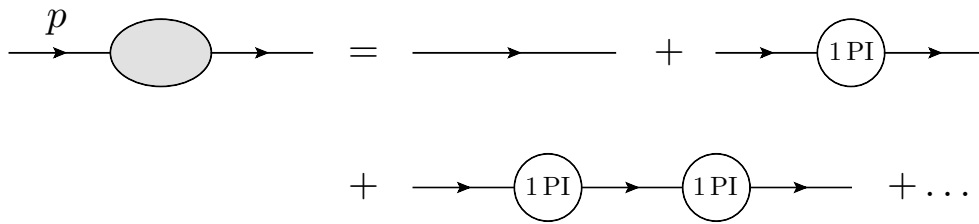


Рис. 1. Повний пропагатор електрона в термінах власної енергії.

До $\Sigma(p)$ ми відносимо нескінченний ряд одностинковонезвідних діаграм, тобто, діаграм, які неможливо розділити на дві окремі розрізаючи всього одну ферміонну лінію (див. рис.2).

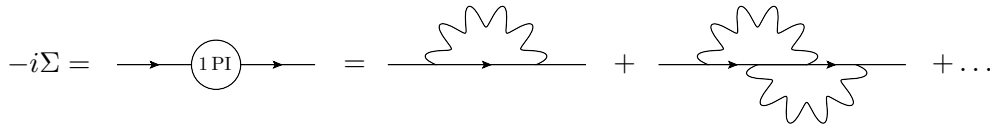


Рис. 2. Одностинковонезвідні діаграми власної енергії електрона.

В контр-членному підході вважається, що маса m і заряд e , присутні в лагранжіані, є скінченними. “Ідеологія” перенормування полягає в тому, щоб додати до початкового лагранжіану контрчлени (розбіжні) такі, щоб скомпенсувати розбіжності власної

енергії, поляризації вакуума і вершини. Тобто, ми вважаємо, що ми не знаємо теорію (лагранжіан), що описує фізику на малих відстаннях (великих енергіях і імпульсах), і маємо "підправити" лагранжіан таким чином, щоб усунути розбіжності, які виникають в теорії збурень.

Почнемо з ферміонної частини лагранжіана. До кінетичної частини,

$$\mathcal{L}_1 = i\bar{\psi}\hat{\partial}\psi - m\bar{\psi}\psi, \quad (1.2)$$

додамо контрчлени

$$\Delta\mathcal{L}_{1ct} = iB\bar{\psi}\hat{\partial}\psi - A\bar{\psi}\psi, \quad (1.3)$$

які мають таку ж саму структуру (чому саме таку, стане ясно пізніше). В результаті будемо мати голий лагранжіан

$$(\mathcal{L}_1)_B = \mathcal{L}_1 + \Delta\mathcal{L}_{1ct} = i(1+B)\bar{\psi}\hat{\partial}\psi - (m+A)\bar{\psi}\psi.$$

Виберемо тепер A і B так, щоб електронний пропагатор був скінченим з точністю до e^2 . Додавки будемо розглядати, як доданки взаємодії. Вимагаємо щоб $\Sigma(p) + A - B\hat{p} =$ була скінченою величиною, тобто,

$$\frac{e^2}{8\pi^2(4-n)}(-\hat{p} + 4m) + A - B\hat{p} = \text{скінчена величина}. \quad (1.4)$$

В розмірній регуляризації розбіжності проявляються як полюси при $n = 4$, коли розмірність простору-часу прямує до 4. В найнижчому порядку теорії збурень власна енергія вже була порахована. Знаходимо, з точністю до скінчених величин,

$$A = -\frac{e^2 m}{2\pi^2(4-n)}, \quad B = -\frac{e^2}{8\pi^2(4-n)}. \quad (1.5)$$

Визначемо розбіжну константу

$$Z_2 = 1 + B = 1 - \frac{e^2}{8\pi^2(4-n)}, \quad (1.6)$$

і нову "голу" хвильову функцію

$$\psi_B = \sqrt{Z_2}\psi.$$

Тоді лагранжіан \mathcal{L}_{1B} можна переписати в термінах голих полів і маси

$$\begin{aligned} \mathcal{L}_{1B} &= i\bar{\psi}_B\hat{\partial}\psi_B - (m+A)Z_2^{-1}\bar{\psi}_B\psi_B \\ &= i\bar{\psi}_B\hat{\partial}\psi_B - m_B\bar{\psi}_B\psi_B, \end{aligned} \quad (1.7)$$

де гола (розбіжна) маса

$$\begin{aligned}
m_B &= (m + A)Z_2^{-1} = m \left(1 - \frac{e^2}{2\pi^2(4-n)}\right) \left(1 - \frac{e^2}{8\pi^2(4-n)}\right)^{-1} \\
&\simeq m \left(1 - \frac{e^2}{2\pi^2(4-n)}\right) \left(1 + \frac{e^2}{8\pi^2(4-n)}\right) = m \left(1 - \frac{3e^2}{8\pi^2(4-n)}\right) \\
&= m - \delta m.
\end{aligned} \tag{1.8}$$

Величини з індексами B є голі величини, без врахування взаємодії, ψ , m — відносяться до *фізичного* електрону. Відзначимо, що лагранжіан \mathcal{L}_{1B} , виражений в термінах голих величин, має таку саму форму, як і лагранжіан \mathcal{L}_1 . Тобто, перенормування зберігає форму вихідного лагранжіану.

Ясно, що голий пропагатор $\langle 0|T\psi_B(x)\bar{\psi}_B(y)|0\rangle$ зв'язан з пропагатором фізичних полів співвідношенням

$$G_B(x-y) = \langle 0|T\psi_B(x)\bar{\psi}_B(y)|0\rangle = Z_2\langle 0|T\psi(x)\bar{\psi}(y)|0\rangle = Z_2G_r(x-y). \tag{1.9}$$

Для Фур'є перетворення повного фотонного пропагатора,

$$D_{\mu\nu}(x-y) = \langle 0|TA_\mu(x)A_\nu(y)|0\rangle, \tag{1.10}$$

аналогічно маємо нескінченний ряд, зображений графічно на рис.3:

$$D_{\mu\nu}(k) = D_{0\mu\nu}(k) + D_{0\mu\alpha}(k)(-i\Pi^{\alpha\beta}(k))D_{0\beta\nu}(k) + \dots \tag{1.11}$$

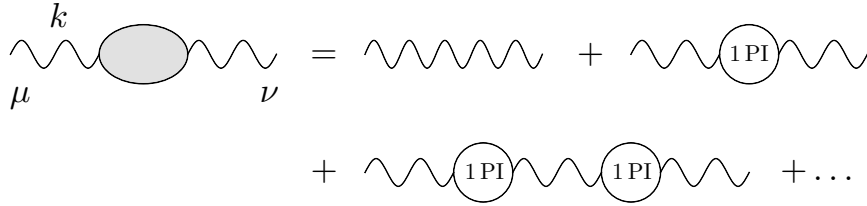


Рис. 3. Повний пропагатор фотона в термінах власної енергії.

Тут

$$D_{0\mu\nu}(k) = \frac{1}{ik^2} \left(g_{\mu\nu} - \frac{k_\mu k_\nu}{k^2} \right) + \xi \frac{k_\mu k_\nu}{ik^4} \tag{1.12}$$

є пропагатор вільного поля, і поляризаційний оператор $\Pi_{\mu\nu}(k)$ (вільна енергія фотона) є поперечним, що є наслідком калібрувальної інваріантності $k^\mu \Pi_{\mu\nu}(k) = k^\nu \Pi_{\mu\nu}(k) = 0$:

$$\Pi_{\mu\nu}(k) = (g_{\mu\nu}k^2 - k_\mu k_\nu)\Pi(k^2) = \left(g_{\mu\nu} - \frac{k_\mu k_\nu}{k^2} \right) k^2 \Pi(k^2) \tag{1.13}$$



Рис. 4. Одночастинковонезвідні діаграми власної енергії фотона.

Поляризаційний оператор включає тільки одночастинковонезвідні діаграми (див. рис.4).

Тоді, використовуючи поперечність тензора $g_{\mu\nu} - k_\mu k_\nu / k^2$, отримаємо

$$\begin{aligned}
D_{\mu\nu}(k) &= \left(g_{\mu\nu} - \frac{k_\mu k_\nu}{k^2} \right) \left(\frac{1}{ik^2} + \frac{1}{ik^2} (-ik^2 \Pi(k)) \frac{1}{ik^2} + \dots \right) \\
&+ \xi \frac{k_\mu k_\nu}{ik^4} = \left(g_{\mu\nu} - \frac{k_\mu k_\nu}{k^2} \right) \frac{1}{ik^2} (1 - \Pi(k^2) + \dots) + \xi \frac{k_\mu k_\nu}{ik^4} \\
&= \left(g_{\mu\nu} - \frac{k_\mu k_\nu}{k^2} \right) \frac{1}{ik^2} \frac{1}{1 + \Pi(k^2)} + \xi \frac{k_\mu k_\nu}{ik^4}. \tag{1.14}
\end{aligned}$$

В нашому випадку, в найнижчому порядку теорії збурень, для поляризаційного оператора запишемо, виділяючи розбіжність,

$$\Pi(k^2) = \frac{e^2}{6\pi^2(4-n)} + \Pi_f(k^2), \tag{1.15}$$

де $\Pi_f(k^2)$ - скінченна частина. В початковий лагранжіан

$$\mathcal{L}_2 = -\frac{1}{4} F^{\mu\nu} F_{\mu\nu} - \frac{1}{2\xi} (\partial_\mu A^\mu)^2 \tag{1.16}$$

добавимо контрчлен

$$\mathcal{L}_{2ct} = -\frac{C}{4} F^{\mu\nu} F_{\mu\nu} \Rightarrow \frac{C}{2} A^\mu (\square g_{\mu\nu} - \partial_\mu \partial_\nu) A^\nu. \tag{1.17}$$

таким чином, щоб усунути розбіжність в поляризації вакуума. Тоді

$$(\mathcal{L}_2)_B = \mathcal{L}_2 + \mathcal{L}_{2ct} = -\frac{Z_3}{4} F^{\mu\nu} F_{\mu\nu}, \quad Z_3 = 1 + C.$$

В імпульсному просторі це дасть додаткову вершину $-iC(k^2 g_{\mu\nu} - k_\mu k_\nu)$. Тому в порядку e^2 вимагаємо, щоб $\Pi(k^2) + C$ була скінченною величиною.

Тоді знаходимо

$$C = -\frac{e^2}{6\pi^2(4-n)}, \quad Z_3 = 1 - \frac{e^2}{6\pi^2(4-n)}. \tag{1.18}$$

Визначимо $A_B^\mu = Z_3^{1/2} A^\mu$, тоді $\mathcal{L}_2 + (\mathcal{L}_2)_{CT}$ можна переписати у вигляді

$$\begin{aligned}
\mathcal{L} &= -\frac{1}{4} F_B^{\mu\nu} F_{B\mu\nu} - \frac{1}{2\xi} Z_3^{-1} (\partial^\mu A_{\mu B})^2 \\
&= -\frac{1}{4} F_B^{\mu\nu} F_{B\mu\nu} - \frac{1}{2\xi_B} (\partial_\mu A_B^\mu)^2, \quad \xi_B = Z_3 \xi. \tag{1.19}
\end{aligned}$$

Неперенормований і перенормований пропагатори фотона, в термінах голих і фізичних полів, зв'язані мультиплікативно

$$D_{\mu\nu} \sim \langle 0|TA_{\mu B}A_{\nu B}|0\rangle \sim Z_3\langle 0|TA_{\mu}A_{\nu}|0\rangle = Z_3D_{r\mu\nu}, \quad (1.20)$$

$D_{r\mu\nu}$ — перенормований фотоний пропагатор, він дорівнює

$$D_{r\mu\nu}(k) = \left(g_{\mu\nu} - \frac{k_{\mu}k_{\nu}}{k^2} \right) \frac{1}{ik^2} \frac{1}{1 + \Pi_f(k^2)} + \text{члени пропорційні } \xi. \quad (1.21)$$

Очевидно, маса фотона дорівнює нулю, оскільки полюс при $k^2 = 0$ зберігається.

Перенормування позбавляє нас від скінчених доданків, але залишає скінченні доданки, що призводить до спостережуваних фізичних ефектів.

Звернемось тепер до вершиної функції, яку в імпульсному просторі представимо у вигляді $\Gamma^{\mu}(p, p') = \gamma^{\mu} + \Lambda^{\mu}(p, p')$, де p і p' імпульси електрона. У найнижчому порядку теорії збурень поправка до голої вершини описується другою діаграмою на рис.5.

$$\Gamma^{\mu}(p, p') = \begin{array}{c} \text{diagram 1} \\ \text{diagram 2} \\ \dots \end{array}$$

Рис. 5. Поправка до вершини.

Її розбіжна частина, $\Lambda_{\mu}^{(1)}$, при n , що прямує до 4, має вигляд

$$\Lambda_{\mu}^{(1)} = \frac{e^2}{8\pi^2(4-n)}\gamma_{\mu}. \quad (1.22)$$

Цю розбіжність можна усунути, додавши до лагранжіану взаємодії

$$\mathcal{L}_{int} = -e\mu^{2-\frac{n}{2}}\bar{\psi}\gamma_{\mu}\psi A^{\mu} \quad (1.23)$$

контрчлен виду

$$\mathcal{L}_{3ct} = -De\mu^{2-\frac{n}{2}}\bar{\psi}\gamma_{\mu}\psi A^{\mu}, \quad (1.24)$$

що дає додаткову вершину $-ie\mu^{2-\frac{n}{2}}D\gamma_{\mu}$ в розкладі по теорії збурень.

Тоді вимагаємо

$$D\gamma_{\mu} + \Lambda_{\mu} = \text{скінченна величина}, \quad (1.25)$$

звідки

$$D = -\frac{e^2}{8\pi^2(4-n)}. \quad (1.26)$$

Тоді

$$\mathcal{L}_{int} + \mathcal{L}_{3ct} = -(1 + D)e\mu^{2-\frac{n}{2}}\bar{\psi}\hat{A}\psi = -Z_1e\mu^{2-\frac{n}{2}}\bar{\psi}\hat{A}\psi, \quad Z_1 = 1 - \frac{e^2}{8\pi^2(4-n)}. \quad (1.27)$$

Остаточно, повний лагранжіан КЕД (в однопетльовому наближенні) має вигляд

$$\mathcal{L}_B = iZ_2\bar{\psi}\hat{\partial}\psi - (m + A)\bar{\psi}\psi - Z_1e\mu^{2-\frac{n}{2}}\bar{\psi}\hat{A}\psi - \frac{Z_3}{4}F_{\mu\nu}F^{\mu\nu} + \frac{1}{2\xi}(\partial^\mu A_\mu)^2 \quad (1.28)$$

— в термінах фізичних полів.

Тут

$$Z_1 = Z_2 = 1 - \frac{e^2}{8\pi^2(4-n)}, \quad Z_3 = 1 - \frac{e^2}{6\pi^2(4-n)}, \quad A = -\frac{me^2}{2\pi^2(4-n)}. \quad (1.29)$$

Відзначимо важливу рівність $Z_1 = Z_2$, яка є справедливою у всіх порядках і є наслідком так званої тотожності Уорда-Такахаші (доведення тотожності буде дано пізніше)

$$k^\mu \Gamma_\mu(p, p+k) = G^{-1}(p+k) - G^{-1}(p), \quad (1.30)$$

де за визначенням

$$\Gamma_\mu(p, p+k) \equiv -i(\gamma_\mu + \Lambda_\mu). \quad (1.31)$$

Оскільки ферміонний пропагатор зв'язаний з власною енергією електрона співвідношенням

$$G(p) = \frac{i}{\hat{p} - m - \Sigma(p)}, \quad (1.32)$$

то для розбіжних частин маємо в порядку e^2

$$G_{div}^{-1}(p) = (-i) \left[\underbrace{\hat{p} \left(1 + \frac{e^2}{8\pi^2(4-n)} \right)}_{=Z_2^{-1}} - m \left(1 + \frac{e^2}{2\pi^2(4-n)} \right) \right], \quad (1.33)$$

$$\Gamma_{div}^\mu = -i\gamma^\mu \left(1 + \frac{e^2}{8\pi^2(4-n)} \right) = -i\gamma^\mu Z_1^{-1}. \quad (1.34)$$

Тотожність Уорда-Такахаші потребує рівності $Z_1 = Z_2$ у всіх порядках теорії збурень.

Переходячи до голих величин, маємо

$$\mathcal{L}_B = i\bar{\psi}_B\hat{\partial}\psi_B - m_B\bar{\psi}_B\psi_B - e_B\bar{\psi}_B\hat{A}\psi_B - \frac{1}{4}F_B^{\mu\nu}F_{B\mu\nu} + \frac{1}{2\xi_B}(\partial^\mu A_{\mu B})^2. \quad (1.35)$$

Тут

$$m_B = Z_2^{-1} \underbrace{(m + A)}_{=mZ_m}, \quad e_B = e\mu^{2-\frac{n}{2}} \frac{Z_1}{Z_2 Z_3^{1/2}} = e\mu^{2-\frac{n}{2}} Z_3^{-1/2}, \quad \xi_B = Z_3 \xi. \quad (1.36)$$

Таким чином, всі нескінченні величини включені в голі величини, при цьому лагранжіан зберіг свою початкову форму. Це і означає перенормованість КЕД в данному порядку.

2. Важливість тотожності Уорда-Такахаші

Розглянемо КЕД з двома сортами заряджених частинок, електрони і мюони. Для фотон-мюонної вершини будемо мати

$$eZ_2'^{-1}Z_3'^{-1/2} = e_B(Z_1')^{-1}, \quad (2.1)$$

де Z_1' і Z_2' — перенорміровки вершини і поля мюона. Константи залежать від маси мюона (в регуляризації з обрізанням по імпульсам, або регуляризації Паулі-Вілларса). Виникає підозра, що (2.1) визначає інше співвідношення між фізичним зарядом e і голим зарядом e_B , ніж у випадку одних електронів. Але в силу тотожності Уорда-Такахаші $Z_1' = Z_2'$, це співвідношення залишається таким, як і раніше, так що залишається універсальний електричний заряд, який має одне і теж значення для всіх сортів частинок.

Теорема Боголюбова-Парасюка-Хеппа-Ціммермана (БПХЦ). Для довільної перенормованої квантової теорії поля в будь-якому порядку теорії збурень всі розбіжності ліквідуються за допомогою контрчленів, які відповідають примітивно розбіжним діаграмам. Тобто теорія є скінченою, якщо використати перенормовану теорію з повним набором контрчленів.

Теорії перенормувань можна надати сенс і поза межами теорії збурень: підібрати параметри лагранжіана як функції обрізання таким чином, щоб фізичні величини були скінченими при знятті обрізання.